# 核辐射物理与探测学笔记

## adamanteye

量	值	注释
$k_BT$	25.3meV	也是热中子的动能
$\frac{e^2}{4\pi\epsilon_0}$	1.44 MeV fm	
hc	1240 MeV fm	
$m_e c^2$	0.511 MeV	
Ry	13.6 eV	Rydberg constant
$uc^2$	931.494 MeV	

表 1 常数表

# 1. 原子核的基本性质

## 不确定度关系

- 动量-位置不确定关系
- 能量-时间不确定关系
- 角动量-角位置不确定关系

**同量异位素** 质量数相同而电荷数不同 **镜像核** 质子数中子数互换,相等的没有镜像核 **质量** 

- 质量过剩:原子
- 质量亏损:原子核

# 1.1. 原子核的结合能

定理 1:

$$E^2 - (pc)^2 = \left(m_0 c^2\right)^2$$

液滴模型 体积能,表面能,库伦能

$$B = a_V A - a_S A^{2/3} - a_C Z^2 A^{-1/3}$$

Weizacker 公式 半经验结合能公式

$$\begin{split} B(Z,A) &= a_V A - a_S A^{2/3} - a_C Z^2 A^{-1/3} \\ &- a_{\text{sym}} (A/2 - Z)^2 A^{-1} + B_P \end{split}$$

$$B_p = \begin{cases} +a_P A^{-1/2} \text{ even-even} \\ 0 & \text{odd} \\ -a_P A^{-1/2} \text{ odd-odd} \end{cases}$$

$a_V$	$a_S$	$a_C$	$a_{ m sym}$	$a_P$
15.835	18.33	0.714	92.90	11.2

表 2 Weizacker 公式参数(MeV)

# 1.2. 核力及核势垒

#### 1.2.1. 核力的性质

• 短程强作用力

- 和电荷无关,这使得中子,质子的能级结构基本相同
- 具有饱和性、只与临近的几个核子相互作用
- 极短程内存在排斥芯.核子不能无限靠近
- 两核子间的核力与自旋相对取向有关
- 核力有自旋轨道耦合项

# 1.3. 磁矩和电极矩

## 1.4. 原子核的统计性质

#### 1.4.1. 费米子

自旋量子数为半整数的称为费米子

- 质子,中子,电子,中微子,μ子
- 交换反对称
- 费米-狄拉克统计
- 不可以占据相同的量子态, 泡利不相容原理

#### 1.4.2. 玻色子

自旋量子数为整数的称为玻色子

- 光子,π介子
- 交换对称
- 玻色-爱因斯坦统计
- 可以占据相同的量子态, 玻色-爱因斯坦凝聚

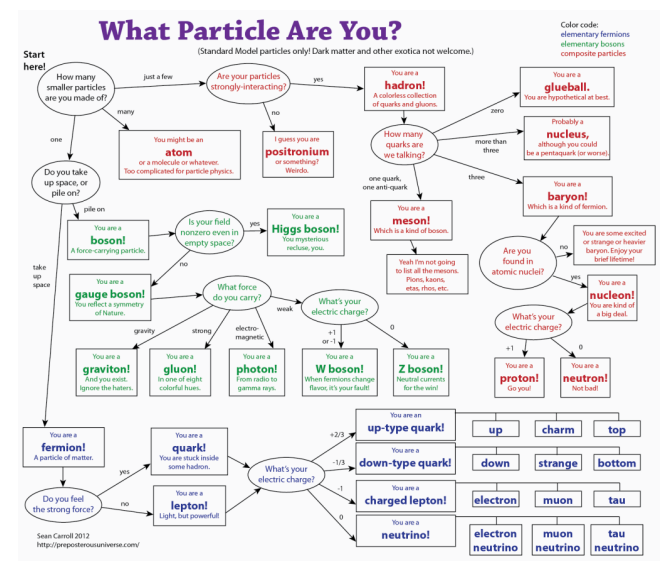


图 1 标准模型的基本粒子

对原子核而言

- 偶 A 核: 玻色子
- 奇 A 核: 费米子
- 历史上用来否定原子核的质子-电子论

# 1.5. 原子核的自旋与宇称

# 1.6. 原子核的能态和核的壳层模型

**核的能态结构** 原子核是由核子构成的体系, 具有能态结构

• H 原子没有能态结构

**壳层模型**  $j = l \pm s$  考虑核子的自旋-轨道耦合作用

# 2. 原子核的放射性

# 2.1. 放射性衰变的规律 衰变常数

$$N(t) = N(0)e^{-\lambda t}$$

半衰期

$$e^{-\lambda T_{1/2}} = 0.5$$
  
 $\lambda T_{1/2} = \ln(2)$ 

**平均寿命** 放射性原子核的平均生存时间或存活概率 为 0 的时间

$$\begin{split} \tau &= \int t \cdot (-\operatorname{d}\!N(t)) = \frac{\int_0^\infty t \lambda N(t) \operatorname{d}\!t}{N(0)} \\ &= \int_0^\infty t \lambda e^{-\lambda t} \operatorname{d}\!t = \frac{1}{\lambda} = 1.44 T_{1/2} \end{split}$$

能级宽度  $\Gamma \tau = \hbar$ 

•  $\Gamma = \hbar \lambda$ 

活度  $A(t) = \lambda N(t)$ 

- 单位时间发生衰变的原子核数目,反应放射源的强弱,注意不是发射的粒子数
- 1 Ci =  $3.7 \times 10^{10}$  Bq =  $3.7 \times 10^{10} s^{-1}$

衰变率  $J(t) = \lambda N(t)$ 

• 与活度定义相同,主要用来描述衰变过程

比活度  $a = \frac{A}{m}$ 

• 单位质量放射源的放射性活度

#### 2.1.1. 测量半衰期

- 对中等寿命,可直接观察到活度的指数衰减,得到半衰期
- 对较长寿命,无法看到活度变化,但可以分别测量活度和放射性核素的个数(化学手段),利用 $A = \lambda N$ 即可得到半衰期

# 2.2. 递次衰变规律

2.2.1. 二次衰变

涉及核素A,B以及稳定核素C

tm主要由衰变常数大的,即半衰期短的决定:

$$t_m = \frac{1}{\lambda_2 - \lambda_1} \ln \biggl( \frac{\lambda_2}{\lambda_1} \biggr)$$

总活度为:

$$\begin{split} A(t) &= N_{10}\lambda_1 \bigg(e^{-\lambda_1 t} + \\ &\frac{\lambda_2}{\lambda_2 - \lambda_1} \big(e^{-\lambda_1 t} - e^{-\lambda_2 t}\big)\bigg) \end{split}$$

#### 2.2.2. 多次连续衰变规律

对于从数量为 $N_{10}$ 的核素开始的多次连续衰变,衰变链中第n个核素的数量为

$$\begin{split} N_{1}(t) &= N_{10}e^{-\lambda_{1}t} \\ N_{n\neq 1}(t) &= N_{10} \prod_{j=1}^{n} c_{n,j}e^{-\lambda_{j}t} \\ c_{n\neq 1,i} &= \frac{\prod_{j=1}^{n-1} \lambda_{j}}{\prod_{j=1, j\neq i}^{n} \lambda_{j} - \lambda_{i}} \end{split}$$

#### 2.2.3. 长期平衡

# 2.3. 放射系

估测地球年龄,可用 $^{87}$ Rb经 $\beta$ 衰变到 $^{87}$ Sr的过程来估计,并用稳定核素 $^{86}$ Sr估计地球形成之初的Sr含量.

**天然放射系** 地球上存在 3 个长期平衡<u>放射系</u>,此外有 1 系已经衰变完了

• 钍系(4n系)

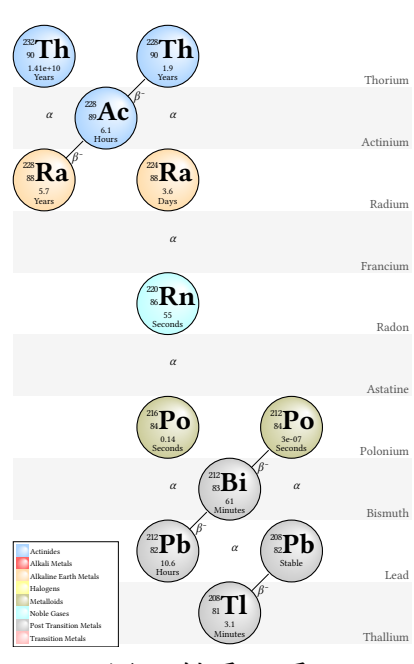


图 2 钍系(4n系)

• 铀系(4n + 2系)从 $^{238}$ U开始经 14 次衰变到达 $^{206}$ Pb

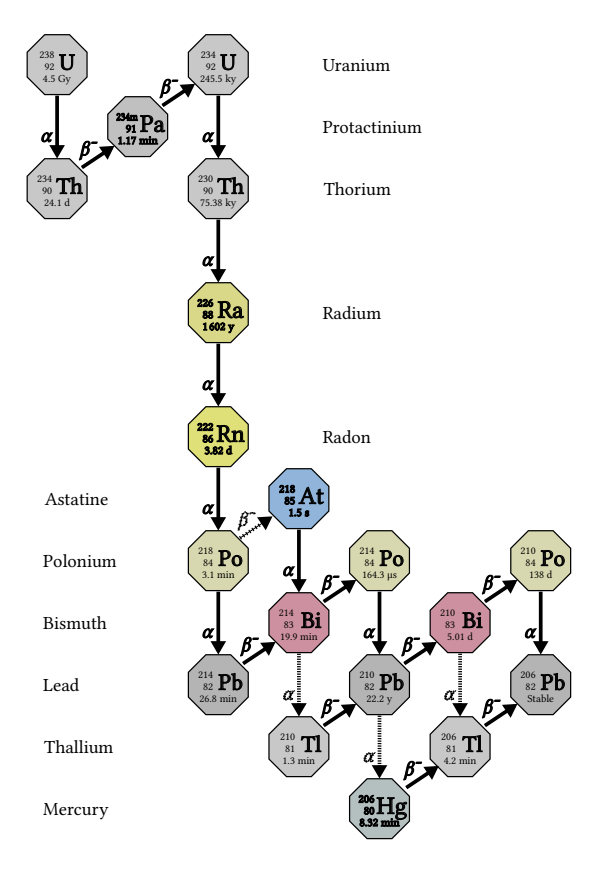


图 3 轴系(4n + 2系)

• 锕-铀系(4n + 3系)从 $^{235}$ U开始经 11 次衰变到达  $^{207}$ Pb

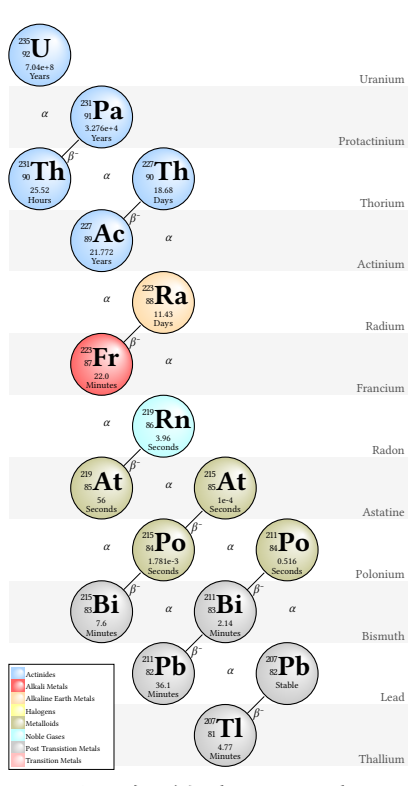


图 4 锕-铀系(4n + 3系)

- 镎系(4n+1系)从<sup>237</sup>Np衰变到<sup>209</sup>Bi
  - <sup>237</sup>Np半衰期远比地球年龄小,至今这一系完全衰变完了

 将<sup>238</sup>U放到反应堆用中子照射,连续吸收 3 个中子, 经过两次β<sup>-</sup>衰变形成<sup>241</sup>Pu,再经一次β<sup>-</sup>衰变,一次 α衰变形成<sup>237</sup>Np

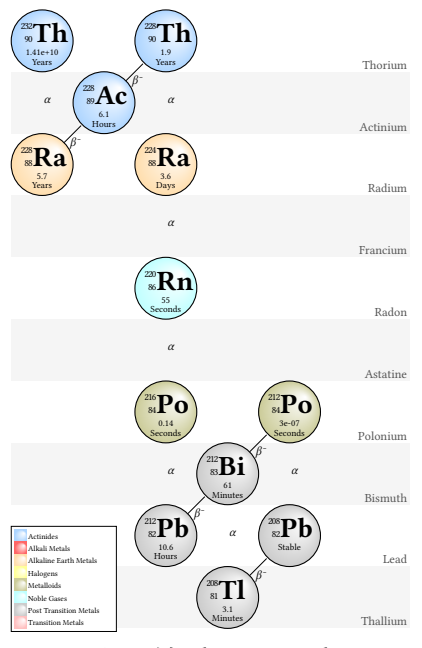


图 5 镎系(4n+1系)

# 2.4. 放射规律的一些应用

**人工制备放射源** 例如通过反应堆或加速器制备人工 放射性核素,产生率为

$$P = N_{\rm target} \sigma_0 \Phi$$

- $N_{\text{target}}$ 是样品中用来制备放射源的靶核的总数,认为 在辐照中不变
- $\sigma_0$ 是靶核的热中子截面
- ●是热中子的注量率

考虑制得的核素自身以 $\lambda$ 衰变,则照射时间为t时数量及活度为

$$N(t) = \frac{P}{\lambda} (1 - e^{-\lambda t})$$
 
$$A(t) = P(1 - e^{-\lambda t})$$

定义 $S=1-e^{-\lambda t}$ 为饱和因子,那么 $S\left(t\approx 6.65T_{1/2}\right)=$ 

 $\mathbb{E}XS = 1 - e$  不为他和因于,那么 $S(t \approx 6.65I_{1/2}) = 0.99$ . 因此通常制备时照射时间以六七倍半衰期为好.

• 这 5 个影响活度的因素,在照射时间足够长时,退化 为 3 个

**短寿命核素发生器** 直接制备的短寿命核素活不完运输过程,因此采用母体-子体的方法

- 母体长寿命,子体短寿命.两者建立暂时平衡
- 每隔 $t_m$ 可以收获最多量的子体

# 3. 原子核的衰变

## 3.1. $\alpha$ 衰变

$${}_{Z}^{A}X \rightarrow {}_{Z-2}^{A-4}Y + {}_{2}^{4}He$$

衰变能

$$E_0 = T_{\alpha} + T_Y = (m_X - (m_Y + m_{\alpha}))c^2$$

由于动量守恒,有:

$$E_0 = \frac{m_Y + m_\alpha}{m_Y} T_\alpha \approx \frac{A}{A-4} T_\alpha$$

- 实际中测量的是 $T_{\alpha}$ ,而 $T_{Y}$ 由于 Y 核前进距离太小等原因难以测量
- 探测器中测得的α能谱有宽度,这是由于探测本身的 分辨能力

## 讨论

· A.Z 越大.α衰变能越大

#### 3.1.1. 势垒穿透模型

Geiger-Nuttall Rule

$$\lg(\lambda) = A - BE_0^{-\frac{1}{2}}$$

#### α粒子相对母核的势函数

$$V(r) = \begin{cases} -V_0 & \text{where } r < R \\ \frac{e^2}{4\pi\varepsilon_0} \frac{Z_\alpha Z_Y}{r} & \text{where } r > R \end{cases}$$

当α粒子要带走角动量时,势能要被修正为

$$V(r) + \frac{l(l+1)\hbar^2}{2M_{\alpha}r^2}$$
 where  $r > R$ 

#### 势垒高度

$$V_c = V(R)$$

where 
$$R = R_Y + R_{\alpha} = r_0 \left( A_Y^{\frac{1}{3}} + A_{\alpha}^{\frac{1}{3}} \right)$$

• 其他重核衰变,如 $^{12}$ C衰变难以发生,原因在于势垒高度与 $Z_{^{12}$ C成正比,这几乎是 $\alpha$ 衰变的势垒高度的  $_{3}$  倍

#### 势垒宽度

$$b = \frac{Z_{\alpha} Z_{Y} e^{2}}{4\pi \varepsilon_{0} E_{0}}$$

定义 2 Gamow factor:

$$G = \frac{2\sqrt{2\mu E_0}}{\hbar} \int_{R}^{b} \left(\frac{b}{r} - 1\right)^{\frac{1}{2}} \mathrm{d}r$$

3.1.2. 守恒

# **3.2.** *β*衰变

半衰期范围 10-3 s 到 10<sup>24</sup> a

#### 类型

- β-衰变: 原子核衰变时发射负电子
- β+衰变: 原子核衰变时发射正电子
- 轨道电子俘获 EC: 原子核从核外的电子壳层俘获一个轨道电子

#### 讨论

- 经β衰变生成的子核一般处于激发态,激发态发射γ
   光子或内转换电子跃迁至基态,纯β衰变放射性核素
   不多
- β衰变宇称不守恒

### 3.2.1. *β*<sup>−</sup>衰变

$${}_{Z}^{A}X \rightarrow {}_{Z+1}^{A}Y + e^{-} + \tilde{\nu_{e}}$$

### 衰变能

$$E_0(\beta^-) = \Delta(Z, A) - \Delta(Z + 1, A)$$

### 3.2.2. $\beta^+$ 衰变

$${}_Z^A X \rightarrow {}_{Z-1}^A Y + e^+ + \nu_e$$

#### 衰变能

$$E_0(\beta^+) = \Delta(Z,A) - \Delta(Z-1,A) \label{eq:energy}$$
 
$$-2m_ec^2$$

#### 3.2.3. 禁戒条件

#### 3.2.4. 轨道电子俘获(EC)

$${}_Z^A\mathbf{X} + e_i^- \rightarrow {}_{Z-1}^A\mathbf{Y} + \nu_e$$

#### 衰变能

$$E_0(\varepsilon) = \Delta(Z, A) - \Delta(Z - 1, A) - B_i$$

### 定理 3 电子结合能公式:

$$\begin{split} B_K(Z) &\approx \mathrm{Ry} \ (Z-1)^2 \\ \\ B_L(Z) &\approx \frac{1}{4} \ \mathrm{Ry} \ (Z-5)^2 \\ \\ B_M(Z) &\approx \frac{1}{9} \ \mathrm{Ry} \ (Z-13)^2 \end{split}$$

## 3.3. $\gamma$ 跃迁

衰变能  $E_{\gamma}$ 是 $\gamma$ 光子的能量, $T_R$ 是子核反冲能

$$E_0 = E_i - E_f = E_\gamma + T_R$$

## 3.3.1. 穆斯堡尔效应

#### 3.3.2. 多级性

定理  $4\gamma$ 跃迁宇称守恒: $\gamma$ 跃迁是电磁相互作用,因此宇称守恒,设 $\pi_{\gamma}$ 是光子宇称,有

$$\pi_{\gamma} = \frac{\pi_i}{\pi_f}$$

定理  $5\gamma$ **跃迁角动量守恒**: 设跃迁前后原子核角动量分别为 $\vec{I}_i$ 与 $\vec{I}_f$ ,有 $\vec{L}=\vec{I}_i-\vec{I}_f$ 

$$L = |I_i - I_f|, |I_i - I_f| + 1, ..., |I_i + I_f|$$

定理 6 电多级辐射光子宇称:  $\pi_{\gamma} = (-1)^{L}$ 

定理 7磁多级辐射光子宇称:  $\pi_{\gamma} = (-1)^{L+1}$ 

## 讨论

• 光子带走的角动量不能为 0

### 3.3.3. 概率公式

定理 8 **Weisskopf 单质子模型**: Weisskopf 假定 $\gamma$ 跃迁 是核内 1 个质子状态变化导致的

$$\begin{split} \lambda_E(L) &= \frac{1}{4\pi\varepsilon_0} \frac{2(L+1)}{L((2L+1)!!)^2} \\ & \left(\frac{3}{L+3}\right)^2 \frac{e^2}{\hbar c} (kR)^{2L} \omega \\ \lambda_M(L) &= \frac{1}{4\pi\varepsilon_0} \frac{20(L+1)}{L((2L+1)!!)^2} \\ & \left(\frac{3}{L+3}\right)^2 \frac{e^2}{\hbar c} \left(\frac{\hbar}{m_P c R}\right)^2 (kR)^{2L} \omega \end{split}$$

#### 讨论

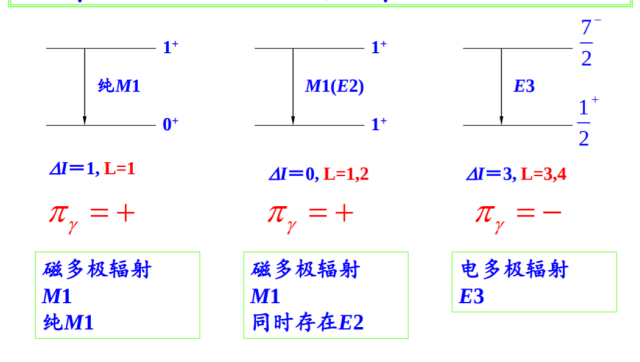
・  $\lambda_M(L)$ 一般与 $\lambda_E(L+1)$ 有相同的量级

### 3.3.4. 选择定则

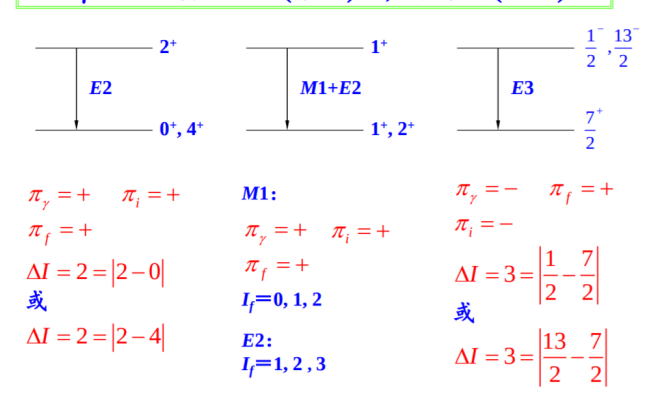


图 6  $\Delta I = 1$ 的例子

# 根据y跃迁初态、末态 IT, 求y跃迁类型与级次:



### 根据y跃迁性质和初态(末态) IT,求末态(初态) IT:



# 3.3.5. 同质异能跃迁

**同质异能态** 通常将寿命较长(> 0.1s)的核激发态成为 同质异能态

**同质异能素** 质子数,中子数相同但处在长寿命激发态 上的核素称为同质异能素,表示为<sup>Am</sup>X

**同质异能跃迁** 同质异能态的 $\gamma$ 跃迁称为同质异能跃迁

#### 讨论

- 高激发态一般不会是同质异能态
- 偶偶核的同质异能态很少
- · 奇 A 核的同质异能态最多
- 同质异能态的内转换系数最大

## 3.3.6. 内转换电子

**内转换** 原子核将退激能量交给核外电子,使电子从原子中电离的现象.能量以发射特征 X 射线或俄歇电子的形式放出.

#### 内转换电子的动能

$$T_e = E_i - E_f - B_i = E_\gamma - B_i$$

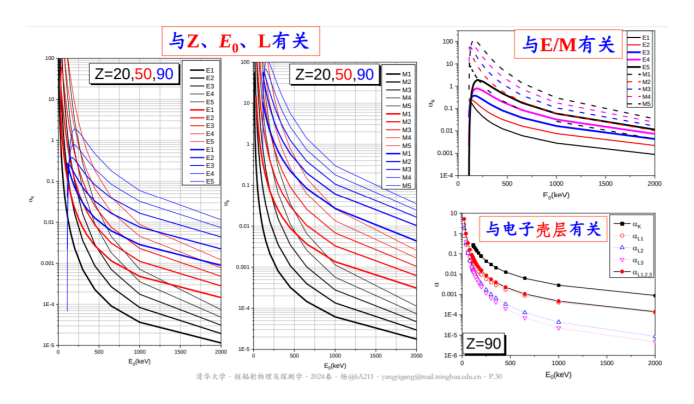
这里B<sub>i</sub>是第i层电子的结合能

主売层	K	L			M				
支壳层		L <sub>1</sub>	L <sub>2</sub>	L <sub>3</sub>	M <sub>1</sub>	M <sub>2</sub>	$M_3$	$M_4$	M <sub>5</sub>
电子角动量	1s <sub>1/2</sub>	2s <sub>1/2</sub>	2p <sub>1/2</sub>	2p <sub>3/2</sub>	3s <sub>1/2</sub>	3p <sub>1/2</sub>	3p <sub>3/2</sub>	3d <sub>3/2</sub>	3d <sub>5/2</sub>
电离能	$\epsilon_{\rm K}$	$\epsilon_{L1}$	$\epsilon_{L2}$	$\epsilon_{L3}$	$\epsilon_{\rm M1}$	$\epsilon_{M2}$	$\epsilon_{\rm M3}$	$\epsilon_{\rm M4}$	$\epsilon_{\rm M5}$
Tl∴ε(keV)	85.530	15.347	14.698	12.658	3.704	3.416	2.957	2.485	2.389
$T_e = E_0 - \varepsilon \Rightarrow T_e = 279 \text{keV} - \varepsilon$									
内转换电子 能量	T <sub>e</sub> (K)	$T_e(L_1)$	T <sub>e</sub> (L <sub>2</sub> )	T <sub>e</sub> (L <sub>3</sub> )	T <sub>e</sub> (M <sub>1</sub> )	T <sub>e</sub> (M <sub>2</sub> )	T <sub>e</sub> (M <sub>3</sub> )	T <sub>e</sub> (M <sub>4</sub> )	T <sub>e</sub> (M <sub>5</sub> )
$T_e(keV)$	193.67	263.853	264.502	266.542	275.496	275.784	276.243	276.715	276.811
$E_0 > \mathcal{E}_K$ $\mathcal{E}_K > E_0 > \mathcal{E}_L$ $\mathcal{E}_L > E_0 > \mathcal{E}_M$ 内转换主要发生在 $K$ 壳层上 内转换主要发生在 $L$ 壳层上 生在 $L$ 壳层上									

## 内转换系数

$$\alpha \coloneqq \frac{\lambda_e}{\lambda_\gamma} = \frac{n_e}{n_\gamma}$$

注意 $\lambda_{\gamma}(1+\alpha)$ 才是两个能级间跃迁过程对应的衰变常数



## 讨论

• 退激时,发射内转换电子和发射光子是互相竞争的

# 3.4. 衰变纲图

# 4. 原子核反应

具有一定能量的粒子轰击靶核,使其组成或能量状态 发生变化,成为不稳定核素,并放出粒子.

## 讨论

- 涉及的能量可以很高
  - · 中高能反应能量可以达到几百 MeV
- 可以产生不稳定核素

## 4.1. 原子核反应概况

# 4.2. 核反应和 Q 方程

$$a + A \rightarrow b + B$$

定理 9核反应中的能量守恒:

$$\left(m_a+m_A\right)^2+\left(T_a+T_A\right)=\left(m_b+m_B\right)^2+\left(T_b+T_B\right)$$

定义 10 反应能 Q:

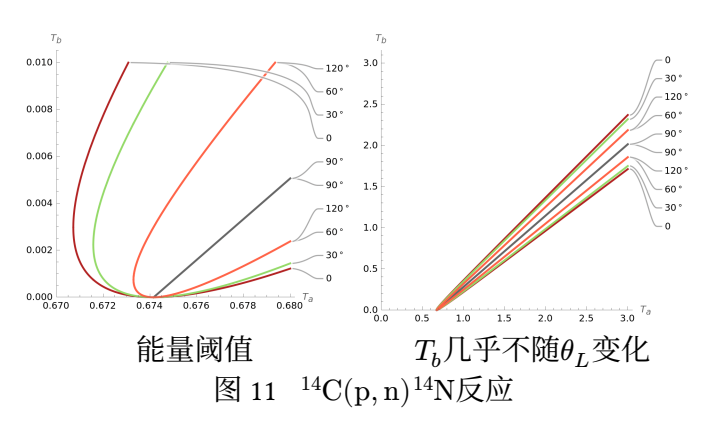
$$\begin{split} Q &= (T_b + T_B) - (T_a + T_A) \\ &= (m_a + m_A)c^2 - (m_b + m_B)^{c^2} \\ &\approx (\Delta_a + \Delta_A) - (\Delta_b + \Delta_B) \\ &= (B_b + B_B) - (B_a + B_A) \end{split}$$

- Q > 0: 放能反应
- Q < 0: 吸能反应
- 如果余核处在激发态 $E^*$ ,那么有 $m_B^* = m_B + \frac{E^*}{c^2}$ ,  $Q' = Q E^*$

定理 11Q 方程: 假设靶核A静止,Q 方程将出射粒子的 动能 $T_b$ 与入射粒子动能 $T_a$ ,出射粒子的方向 $\theta$ ,反应能Q 把这四个量联系起来

$$\begin{split} Q &= \bigg(1 + \frac{m_b}{m_B}\bigg)T_b - \bigg(1 - \frac{m_a}{m_B}\bigg)T_a \\ &- \frac{2\sqrt{m_a m_b T_a T_b}}{m_b}\cos\theta \end{split}$$

$$\begin{split} \sqrt{T_b} &= \pm \Biggl( \Biggl( \frac{A_B - A_a}{A_B + A_b} + \frac{A_a A_b}{\left(A_B + A_b\right)^2} \cos^2 \theta \Biggr) T_a \\ &+ \frac{A_B}{A_B + A_b} Q \Biggr)^{1/2} + \frac{\sqrt{A_a A_b T_a}}{A_B + A_b} \cos \theta \end{split}$$



# 4.3. 实验室坐标系与质心坐标系

# 4.4. 核反应截面和产额

定义 12 截面: 反映一个入射粒子与单位面积上的一个 靶核发生反应的概率

$$\sigma = \frac{N'}{IN_s}$$

定义 13 **总截面**: 不同反应道有各自截面,分截面之和 称为总截面

$$\sigma = \sum_i \sigma_i$$

定义 14 微分截面:

定义 15 产额: 入射粒子在靶中引起的核反应数N'与入射粒子数 $I_0$ 之比

$$Y = \frac{N'}{I_0}$$

定理 16 中子入射的产额:

$$Y = 1 - e^{-\sigma ND}$$

- 对于薄靶,有 $Y \approx \sigma ND$
- 对于厚靶,有 $Y \rightarrow 1$

# 4.5. 核反应中的分波分析

# 4.6. 核反应机制及核反应模型

## 4.6.1. 复合核机制

- 复合核如何衰变与它如何形成无关
- 反应在10<sup>-15</sup>s 量级
- 入射粒子能量不太高: 10-20MeV
- 靶核质量较大

# 5. 辐射与物质的相互作用

- 5.1. 重带电粒子
- 5.2. 快电子

# 6. 辐射与物质探测中的统计学

用样本方差代替统计涨落的估计值意味着放弃了对分 布处于泊松分布的先验知识,结果算出来的误差一定 偏大.